

INCIDENCIA DE ESTRATEGIAS DE CONTROL SOLAR EN LA ILUMINACIÓN NATURAL DE AULAS ESCOLARES

Santiago Hoses (¹)

IDEHAB, Instituto de Estudios del Hábitat, UI nº2, FAU, UNLP
Calle 47 NE162. CC 478 (1900) La Plata. http://idehab_fau_unlp.tripod.com/ui2
e-mail: santhoses@yahoo.com. Tel-fax: + 54 (221) 423-6587/90. Int.:254

Gustavo San Juan (²); Mariana Melchiori (³); Graciela Viegas (³)

IDEHAB, Instituto de Estudios del Hábitat, UI nº2, FAU, UNLP
Calle 47 NE162. CC 478 (1900) La Plata. http://idehab_fau_unlp.tripod.com/ui2
e-mail: g-sanjuan@topmail.com.ar. Tel-fax: + 54 (221) 423-6587/90. Int.: 254

RESUMEN

El trabajo expone la evaluación de la incidencia de distintas estrategias de control solar en la iluminación natural interior de aulas correspondientes a la Educación General Básica (EGB) de la provincia de Buenos Aires, Argentina (35° latitud Sur). Se adopta un aula tipo representativa del parque edilicio mencionado la cual se analiza con la aplicación de distintas estrategias de control solar, tanto en modificación o adición de elementos compositivos, como de su entorno mediato. Se trabajó con modelos analógicos a escala, utilizando técnicas de medición de iluminación natural y heliodón para la verificación de protecciones solares. La metodología empleada permite cuantificar la respuesta de cada solución analizando las características interiores de la iluminación natural resultante (Contraste; Uniformidad; Factor de Iluminación Natural máximos, mínimos y medios). De esta manera el diseñador de edificios escolares podrá justificar la adopción de estrategias análogas a las presentadas, en relación a los valores obtenidos en el presente trabajo. Se acercan conclusiones sobre los aspectos relacionados con el confort lumínico a considerar en la región geográfica de estudio, con el objeto de su aplicación para la optimización del universo tipológico analizado.

Palabras Clave: Arquitectura Educacional; Iluminación natural; Protección solar, Pautas de diseño.

1. INTRODUCCIÓN

La Red de escuelas de la Provincia de Buenos Aires cuenta con una serie de casos tipológicamente representativos en la conformación de sus edificios y en los “módulos aula” que los componen, siendo este el espacio más relevante del edificio escolar, tanto desde el punto de vista de la producción educativa, como desde las condiciones energéticas y de confort que se requieren. Además, las aulas constituyen aproximadamente el 35% de la superficie total de los establecimientos para el nivel EGB, siendo el espacio de mayor influencia en el conjunto escolar. Es por ello que se estudian estos sectores significativos para conocer el comportamiento del edificio.

El trabajo que se presenta es la continuación del análisis de la iluminación natural en aulas, desarrollado en función de la variación de su forma, porcentaje y ubicación del arietanamiento; y coeficientes de reflexión interior (San Juan et al. 1996; San Juan et al. 1997; Evans et al. 1998; Hoses et al. 2000). Del diagnóstico realizado en trabajos anteriores, se desprendió que buena parte del universo construido necesitará complementarse con iluminación artificial para cumplir con los

¹ Becario de Perfeccionamiento CONICET

² Investigador CONICET

³ Colaboradores

requerimientos mínimos de confort, con aumento considerablemente del consumo de energía eléctrica y del costo de mantenimiento, reposición y reparación de los equipos con disminución del confort lumínico. La existencia de avenamiento sólo en la fachada principal, es causa de un excesivo contraste, generando deslumbramiento y falta de uniformidad en la distribución de la luz entrante. La situación óptima es la que incluye avenamiento en cubierta. Asimismo se detectó la necesidad de implementar sistemas de sombreo en días claros aún cumpliéndose con la normativa (IRAM, 1970)

En esta oportunidad se propone avanzar sobre el análisis de la respuesta de elementos de control solar. Se plantean los siguientes objetivos:

1. Evaluar el comportamiento lumínico de elementos de control solar en aulas.
2. Comparar los resultados que arrojen los diversos métodos de análisis empleados.

2. METODOLOGIA

Metodológicamente el trabajo se desarrolla en las siguientes instancias:

1. Adopción de variables de cálculo.
2. Diseño de elementos de control solar para la latitud de referencia en el escenario de análisis propuesto.
3. Verificación de trayectoria solar en heliodón y ajuste de elementos; verificándose la incidencia de luz indirecta en cada avenamiento, tal como exige la normativa vigente (Ministerio de Cultura y Educación de la Nación, 1997)
4. Mediciones en cielo artificial con modelos analógicos a escala (1:20) y cálculo del Factor de Iluminación Natural (en adelante FIN). Realización de una simulación base para el aula desprovista de elementos de control (caso patrón) comparándose las características interiores de la iluminación arrojadas en función de las distintas estrategias de control aplicadas.
5. Comparación de resultados obtenidos.

2.1 Variables operacionales.

Se adoptó como escenario de cálculo, la ciudad de La Plata, ubicada a 35° latitud Sur; perteneciente a la zona bioambiental IIIb Templada cálida de la República Argentina, la cual presenta una radiación global media diaria de 16,10 MJ/m²

Se trabajó sobre un aula tipo de planta cuadrangular, sus dimensiones son 7,00 m de ancho x 7,00 m de largo x 3,20 m de alto en su parte mas baja, con características constructivas tradicionales. Esta tipología se caracteriza por la ausencia de diseño lumínico consciente, presenta iluminación unilateral y cubierta con una sola pendiente sin aberturas complementarias. La superficie de avenamiento corresponde al 30% de la superficie de la fachada expuesta (2 aberturas de 2.00 x 1.50m, a un metro del piso). Se adoptaron coeficientes de reflexión estándar de las superficies interiores: Pared = 0.72; Piso = 0.56; Cielorraso = 0.56 (British Standard Institution, 1972) y para el coeficiente de transmisión del vidrio se tomó 0.86.

2.2 Diseño de elementos de protección o captación solar:

Para la adopción de las estrategias de control solar se ha tomado como referencia el análisis y clasificación de componentes de iluminación natural de la Comisión de Comunidades Europeas, 1993:

- i. **Espacios intermedios:** son espacios que guían y distribuyen la luz a través del interior del edificio: galería abierta, galería cerrada, invernadero, patio, atrio cerrado, ducto de luz, ducto solar, etc.
- ii. **Componentes de paso:** son dispositivos diseñados para permitir el paso de la luz natural a través del cerramiento desde un ambiente a otro.
 - a) **Lateral:** situados en los paramentos verticales del edificio, permiten la penetración lateral de luz (ventana, courtin-wall, etc);
 - b) **Cenital:** situados en cubiertas del edificio, (clerestorio, cortes en cubierta, cubierta sheed, cielorraso translúcido, claraboya o lucarnas, linternas) ;

- c) **Global:** son parte del cerramiento del volumen construido, cercano limitan un espacio parcial o totalmente, permitiendo simultáneamente la penetración de iluminación natural lateral y cenital (membranas)
- iii. **Elementos de control o captación solar:**
- Superficie divisoria:** elementos de material transparentes o translúcidos, que separan dos ambientes lumínicos.
 - Pantallas flexibles:** obstruyen parcial o totalmente la luz solar directa y difusa, permitiendo ventilación natural: toldos, cortinas (y si ponemos un toldo translúcido o chapa translúcida)
 - Pantallas rígidas y opacas:** re-direccionan o obstruyen la radiación solar directa disminuyendo el paso de luz, aleros, estantes de luz, alfeizares, pantallas verticales perpendiculares, pantallas verticales paralelas.
 - Filtros solares:** cubren completamente la superficie de una abertura, celosías, persianas, brise-soleil, protecciones tipo trama metálicas.
 - Obstrucciones solares:** postigos
- iv **Elementos ajenos al edificio:** piso reflectante, pantallas opacas o translúcidas; vegetación , etc.

Podrían establecerse una gran variedad de componentes y combinaciones, no obstante ello no es objeto de este trabajo, sino que se tratará de analizar la conducta individual de los elementos más representativos en aulas. Se adoptaron las siguientes estrategias: 1) ventana lateral 30% de la superficie expuesta; 2) Galería; 3) Alero; 4) Alero + Estante de luz; 5) Pantallas verticales; 6) Brise-soleil; 7) Alero tipo celosía; 8) Piso reflectante; 9) Pantalla opaca vertical de igual altura que la separación de la abertura; 10) Pantalla opaca vertical de una altura igual a dos veces su separación de la abertura. Se adoptó un coeficiente de reflexión de 0,90 para los elementos de protección y 0,95 para el piso reflectante, mientras que para las obstrucciones externas se consideró un coeficiente de reflexión de 0,72. (Tabla 1)

Tabla1. Estrategias de protección solar en aulas. Casos seleccionados.

1.	2.	3.	4.	5.
Diagrama que muestra una abertura rectangular con dimensiones 3.28 x 1.50. Una persona se encuentra a 1.00 de la base. Una sombra circular de diámetro 0.50 cae sobre la persona. Una sombra rectangular de 1.50 x 1.00 cae sobre la persona.	Diagrama que muestra una abertura rectangular de 3.28 x 1.50. Una persona se encuentra a 1.00 de la base. Una sombra circular de diámetro 0.50 cae sobre la persona. Una sombra rectangular de 2.80 x 1.50 cae sobre la persona.	Diagrama que muestra una abertura rectangular de 3.28 x 1.50. Una persona se encuentra a 1.00 de la base. Una sombra circular de diámetro 0.50 cae sobre la persona. Una sombra rectangular de 1.50 x 1.50 cae sobre la persona.	Diagrama que muestra una abertura rectangular de 3.28 x 1.50. Una persona se encuentra a 1.00 de la base. Una sombra circular de diámetro 0.50 cae sobre la persona. Una sombra rectangular de 1.50 x 0.75 cae sobre la persona.	Diagrama que muestra una abertura rectangular de 3.28 x 1.50. Una persona se encuentra a 1.00 de la base. Una sombra circular de diámetro 0.50 cae sobre la persona. Una sombra rectangular de 1.50 x 1.50 cae sobre la persona.
Aventanamiento 30%	Galería	Alero	Alero y estante de luz	Pantallas verticales
ii - a	i.	iii - c	iii - c	iii - c
6.	7.	8.	9.	10.
Diagrama que muestra una abertura rectangular de 3.28 x 1.50. Una persona se encuentra a 1.00 de la base. Una sombra circular de diámetro 0.50 cae sobre la persona. Una sombra rectangular de 1.50 x 1.50 cae sobre la persona.	Diagrama que muestra una abertura rectangular de 3.28 x 1.50. Una persona se encuentra a 1.00 de la base. Una sombra circular de diámetro 0.50 cae sobre la persona. Una sombra rectangular de 1.50 x 1.50 cae sobre la persona.	Diagrama que muestra una abertura rectangular de 3.28 x 1.50. Una persona se encuentra a 1.00 de la base. Una sombra circular de diámetro 0.50 cae sobre la persona. Una sombra rectangular de 3.00 x 1.50 cae sobre la persona.	Diagrama que muestra una abertura rectangular de 3.28 x 1.50. Una persona se encuentra a 1.00 de la base. Una sombra circular de diámetro 0.50 cae sobre la persona. Una sombra rectangular de 1.50 x 1.50 cae sobre la persona. La sombra de la medianera tiene altura A.	Diagrama que muestra una abertura rectangular de 3.28 x 1.50. Una persona se encuentra a 1.00 de la base. Una sombra circular de diámetro 0.50 cae sobre la persona. Una sombra rectangular de 3.00 x 1.50 cae sobre la persona. La sombra de la medianera tiene altura A. La altura total de la medianera es H = 2A.
Brise-soleil	Alero tipo celosía	Piso reflectante	Medianera 1 altura	Medianera 2 alturas
III - d	III - d	IV	IV	IV

2.3 Dimensionado y Verificación de elementos.

Se dimensionó cada elemento considerando el aula con orientación Norte. En función del escenario propuesto y la actividad que aloja el edificio, se deberá evitar el ingreso de radiación directa especialmente durante el período estival y los equinoccios, para evitar el sobrecalentamiento y los reflejos molestos, especialmente en el horario donde la incidencia solar es mayor. Se han diseñado los elementos para proteger las aberturas entre las 10:00 y las 14:00 hs. (Tabla 2)

Tabla 2. Altura y Azimut solar para Solsticios y Equinoccios (Czajkowski, 1993)

Latitud 35°		10:00	12:00	14:00
Altura (H)	21 diciembre	62°	78°	62°
	21 marzo-septiembre	44°	55°	44°
	21 junio	25°	31°	25°
Azimut (A)	21 diciembre	74°	0°	74°
	21 marzo-septiembre	47°	0°	47°
	21 junio	31°	0°	31°

En función de las premisas planteadas se diseñaron los elementos de protección para los casos 3, 4, 6 y 7. El caso 5, de las pantallas verticales se ha dimensionado suponiendo una orientación oeste. El caso de la galería abierta (2) se consideró un espacio circulatorio de 2,50 m de profundidad, que responde a los casos reales relevados en trabajos anteriores. Para el caso 8, del piso reflectante se consideró una superficie de 3,00 m, desde el paramento. Para los casos de medianeras (9 y 10) se consideró arbitrariamente un patio de aire y luz de 3,00 m de largo, con una altura de 3,00 m y 6,00 m, que corresponderían respectivamente a uno y dos niveles.

Se utilizó el Heliodón del Centro de Investigación Hábitat y Energía, FADU-UBA, y se verificó la trayectoria solar para las situaciones que presenta la tabla 2. La variación de la orientación presenta un notable cambio tanto en el asoleamiento, como en los valores de iluminación natural, sin embargo no es el objeto de este trabajo. (figuras 1 y 2)



Figura 1. Asoleamiento en Heliodón. Equinoccio, 14 hs. Orientación Norte. Casos 4 y 5

Figura 2. Asoleamiento en Heliodón. Equinoccio, 14 hs. Orientación Norte. Casos 6 y 7

2.4 Medición en modelos analógicos a escala:

Se adoptó el modelo de cielo cubierto CIE (Standard Overcast Sky). Esta elección encuentra justificación en las estadísticas brindadas por el Servicio Meteorológico Nacional, de las cuales se desprende que en la región de estudio (34°S), el número de días con cielo cubierto supera al de días despejados a lo largo de todo el año. Asimismo se evalúan las condiciones más desfavorables desde el punto de vista lumínico, en coincidencia con el modelo teórico.

Se utilizó cielo artificial del Centro de Investigación Hábitat y Energía, FADU-UBA, construido según el modelo teórico propuesto por el Comité International de l'Eclairage (CIE). (Evans et al, 1997)

Se subdividió la planta del aula en una malla regular, conformada por un total de 25 puntos de medición. No se consideró la franja perimetral de 0,50m de ancho (figura 3)

Para la medición en el interior de las maquetas se utilizó un luxómetro “LI-COR” con sensor fotométrico LI-210SA y como referencia exterior un luxómetro “TES”, modelo 1330. (figura 4)

Se midió simultáneamente en el interior y en el exterior del aula con el objetivo de calcular el FIN en cada punto como porcentaje respecto al nivel exterior. (FIN= cociente entre ambos valores medidos); se realizó una medición por cada escenario de análisis. Los datos recogidos se volcaron en planillas de

Excel diseñadas ad-hoc, preparadas para graficar automáticamente la distribución de la iluminación natural. (Tabla 3)

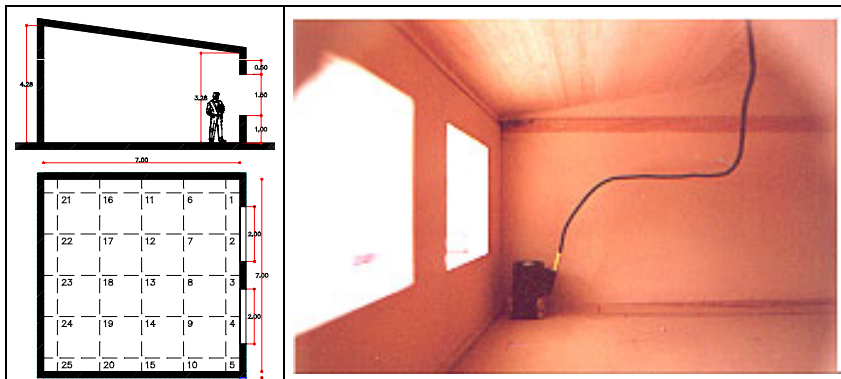


Figura 3. Malla de medición, 25 puntos.

Figura 4. Luxímetro. Interior de maqueta en cielo artificial.

Tabla 3. Valores arrojados por la medición en cielo artificial, punto por punto para cada caso

OPCION punto de medicion	1.- SIN PROTECCION		2.- GALERIA		3.- ALERO		4.- ALERO + ESTANTE DE LUZ		5.- PANTALLAS VERTICALES		6.- BRISE-SOLEIL		7.- PARASOL ESTANTE		8.- PISO REFLECTANTE		9.- MEDIANERA 1H		10.- MEDIANERA 2H	
	FIN %	FIN %	FIN %	FIN %	FIN %	FIN %	FIN %	FIN %	FIN %	FIN %	FIN %	FIN %	FIN %	FIN %	FIN %	FIN %	FIN %	FIN %	FIN %	FIN %
1	4,37	2,18	2,80	2,38	2,24		1,62	2,89	5,49	5,04		3,53								
2	17,98	7,34	3,16	7,79	11,29		5,35	10,73	19,44	16,75		12,52								
3	6,24	3,75	4,53	3,73	3,61		2,27	5,41	3,16	8,01		6,33								
4	17,76	7,17	3,27	7,73	10,30		5,32	10,35	19,63	16,81		12,41								
5	5,60	2,24	2,89	2,63	2,66		1,43	3,08	5,39	5,18		3,50								
6	3,70	2,30	2,63	2,43	2,58		1,57	2,83	4,57	3,59		2,72								
7	5,04	3,00	3,39	3,28	3,70		2,21	3,84	5,37	4,40		3,33								
8	5,55	3,03	3,42	3,47	3,64		2,13	3,87	6,44	4,33		3,50								
9	4,79	3,03	3,47	3,36	3,61		2,32	3,98	6,02	4,59		3,53								
10	4,23	2,30	2,63	2,66	2,66		1,57	3,08	4,36	3,32		2,91								
11	2,24	1,65	1,85	1,76	1,82		1,15	1,99	3,05	2,32		1,99								
12	2,75	1,76	1,93	1,96	2,10		1,32	2,21	3,42	2,49		2,10								
13	2,89	1,82	2,04	2,02	2,13		1,34	2,27	3,50	2,58		2,16								
14	2,89	1,73	2,02	2,04	2,10		1,34	2,27	3,50	2,58		2,13								
15	2,61	1,65	1,73	1,76	1,82		1,15	1,99	3,11	2,44		2,02								
16	1,76	1,18	1,37	1,26	1,32		0,87	1,43	2,16	1,74		1,51								
17	1,88	1,23	1,43	1,34	1,40		0,92	1,48	2,30	1,79		1,57								
18	1,93	1,23	1,46	1,40	1,18		0,95	1,57	2,38	1,88		1,62								
19	1,30	1,26	1,37	1,37	1,43		0,95	1,54	2,35	1,85		1,60								
20	1,82	1,20	1,32	1,32	1,34		0,87	1,46	2,21	1,76		1,51								
21	1,40	0,95	1,12	1,04	1,06		0,70	1,15	1,68	1,46		1,26								
22	1,46	0,95	1,23	1,06	1,09		0,73	1,15	1,79	1,48		1,29								
23	1,65	1,03	1,26	1,20	1,23		0,84	1,34	2,02	1,68		1,43								
24	1,62	1,04	1,12	1,18	1,20		0,81	1,26	1,96	1,62		1,40								
25	1,54	1,01	1,03	1,12	1,12		0,76	1,20	1,85	1,54		1,34								

2.5 COMPARACIÓN DE RESULTADOS OBTENIDOS

Se tomaron como FIN_{min} y FIN_{max} , los valores mínimo y máximo respectivamente, mientras el FIN_{med} se calculó como media aritmética de todos los valores medidos. Se calculó el cociente FIN_{min} / FIN_{med} como indicador de la uniformidad de la distribución de la iluminación natural en el recinto. (Tabla 4 y figura 5)

Tabla 4. Tabla comparativa por casos. Distribución en planta y corte; valores de FIN máximos, mínimos y medios; Coeficiente de uniformidad.

1					MIN MED MAX MIN/MED	1.40 4.30 17.98 0.33
2					MIN MED MAX MIN/MED	0.95 2.25 7.34 0.42
3					MIN MED MAX MIN/MED	1.09 2.67 9.27 0.41
4					MIN MED MAX MIN/MED	1.04 2.46 7.79 0.42
5					MIN MED MAX MIN/MED	1.06 2.77 11.29 0.38
6					MIN MED MAX MIN/MED	0.70 1.62 5.35 0.43
7					MIN MED MAX MIN/MED	1.15 3.00 10.95 0.38
8					MIN MED MAX MIN/MED	1.68 5.00 19.69 0.34
9					MIN MED MAX MIN/MED	1.46 4.10 16.81 0.36
10					MIN MED MAX MIN/MED	1.26 3.17 12.52 0.40

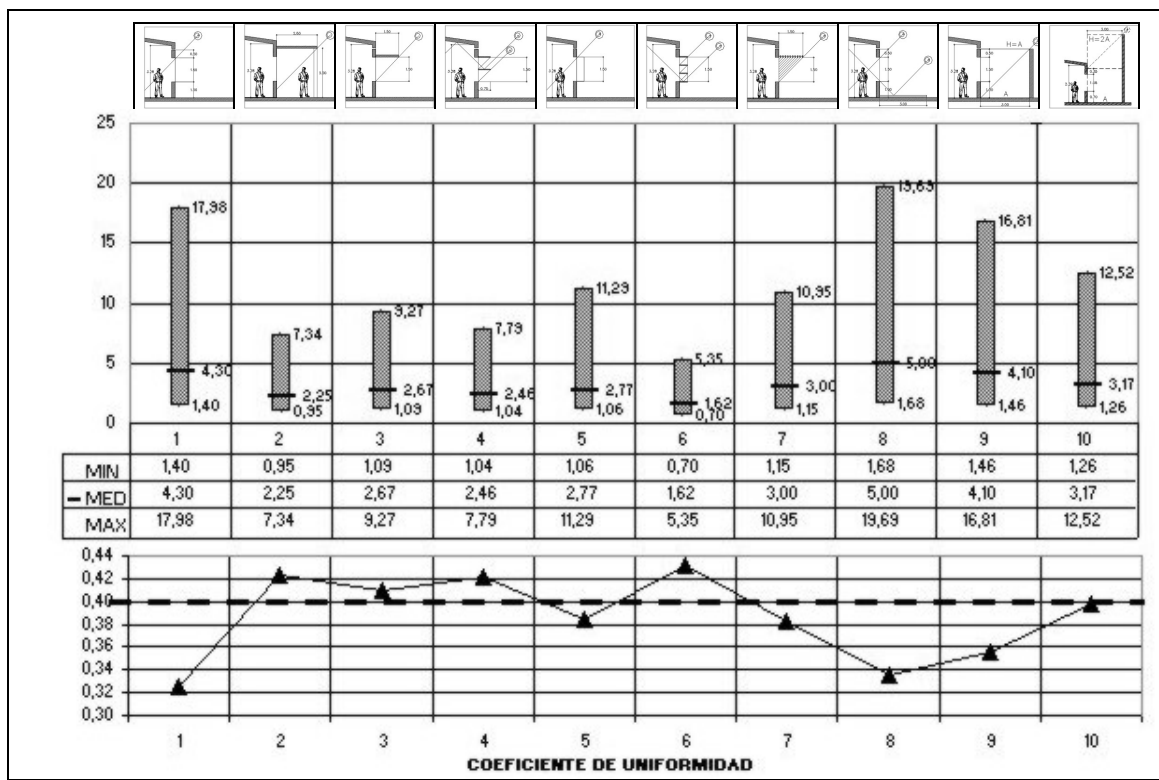


Figura 5. Grafico de máximos, medias y mínimos para cada estrategia de protección. Coeficientes de uniformidad.

Valores de FIN propuestos por la normativa: El ámbito normativo en materia de iluminación natural en escuelas prevé una serie de valores de factor de luz diurna a respetarse para garantizar las condiciones de confort lumínico. La norma argentina IRAM AADL J20-04 establece para los locales destinados a aula, un valor de FIN del 2%, especificando que dicho valor se deberá verificar aún en el lugar más desfavorable del local ubicado por lo menos a 1 (un) metro de distancia de las paredes del mismo (IRAM AADL J20-02). El British Standard Institute (1982) recomienda los siguientes valores de FIN en aulas: con iluminación natural únicamente, un FIN medio del 5% y con iluminación natural complementada con artificial, un FIN medio del 2%. Según la norma argentina respecto del FIN mínimo, sólo los casos 8 y 9 la cumplen; sin embargo se deberá tener en cuenta el problema de la falta de uniformidad. (figura 6). En general los coeficientes de uniformidad arrojados son regulares, sin embargo el interés de este trabajo radica en la utilización de estas conclusiones para los casos donde no se puede adoptar iluminación bilateral.

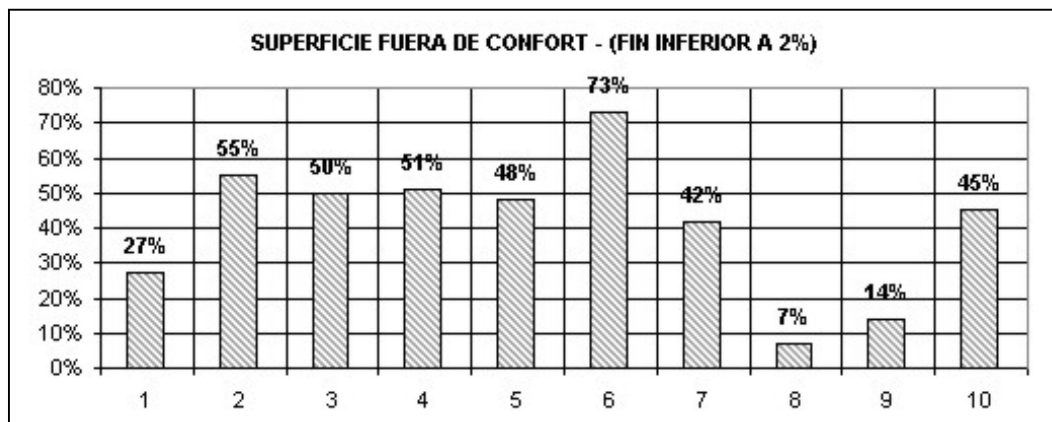


Figura 6. Grafico comparativo de porcentaje de superficie de aula fuera de confort lumínico, según norma nacional, es decir con valores de FIN inferiores al 2%, para cada caso estudiado.

Respecto del porcentaje de superficie del aula fuera de confort aparecen como mejores los casos que no presentan protección sobre la ventana, sin embargo es allí donde se registran los menores coeficientes de uniformidad (casos 1, 8 y 9).

3. CONCLUSIONES

Del presente trabajo se desprenden algunas conclusiones aplicables al diseño de edificios escolares.

- a) La necesaria incorporación de elementos de protección solar, con los cuales se pueda regular las condiciones de confort lumínico interior.
- b) La incorporación en el proceso de diseño de técnicas de simulación y diagnóstico, no solo como verificación de resultados, sino como un método para generar nuevas soluciones.
- c) La utilización en este tipo de edificios, de aleros, galerías o estantes de luz, arrojan una considerable mejora en los niveles de uniformidad, eliminando el acceso directo de radiación solar, lo cual afecta principalmente los dos primeros metros del aula. Debe considerarse la inclusión de otros aportes, cenitales, por doble aventanamiento, o pantallas difusoras.
- d) Se deben aprovechar las superficies exteriores de paramentos y solados de tal modo de poder introducir radiación difusa al aula, teniendo especial atención al deslumbramiento a través de aberturas (casos 8 y 9). Sin embargo para evitar reflejos molestos y sensaciones desagradables, se deberán compensar con elementos que actúen como filtro, evitando valores máximos demasiado altos, y elementos reflectantes como cielorrasos, pantallas horizontales, o membranas difusoras.
- e) Las intensidades lumínicas interiores registradas son muy inferiores a los establecidos por la normativa en 500 lux, ya que los valores medios registrados varían de 100 a 150 lux. Estos datos se corresponden con mediciones de iluminación natural "*in situ*", las cuales arrojan valores medios de 100 lux. De lo anterior se desprende la necesidad de incorporar iluminación adicional o solo acostumbrarse a la situación.

Esta serie de pautas de diseño asociadas a la incidencia de elementos de protección solar, deben incluir aquellas que respondan a la variación de la forma, tamaño y ubicación del aventanamiento; a los coeficientes de reflexión interiores y exteriores; y a la forma del aula. Asimismo debe contemplarse la localización del edificio, incorporado al ámbito urbano o en espacios abiertos; como así también el diseño asociado entre iluminación artificial y natural, con lo cual mejorar las condiciones de confort durante todo el periodo de uso con la consiguiente reducción del consumo de energía.

4. REFERENCIAS BIBLIOGRÁFICAS.

- BRITISH STANDARD INSTITUTION. **Paint Colours for Building Purposes.** BS 4800: 1972
- BRITISH STANDARDS INSTITUTION, Draft for Development. **Basic Data for the Design of Buildings: Daylight.** DD 73: 1982.
- COMMISSION OF THE EUROPEAN COMMUNITIES. Directorate-General XII for Science, Research and Development **Daylighting in Architecture. A European Book.** Bruselas y Luxemburgo 1993.
- CZAJKOWSKI, J et al. **Introducción al diseño bioclimático y la economía energética edilicia.** UNLP. 1993
- EVANS J.M., et al. **Equipamiento para el estudio de Iluminación natural: Diseño, construcción y calibración de un cielo artificial.** Actas IV Encontro Nacional no Ambiente Construido. Salvador, Bahía. Brasil. Noviembre 1997.
- EVANS J.M., et al. **Iluminación en maquetas y espacios con iluminación natural. Recomendaciones para su medición.** Revista de la Asociacion Argentina de Energia Solar, N° 2. Salta, Argentina. Noviembre 1998
- GONZALO, G. **Manual de Arquitectura Bioclimática.** Tucuman. 1998.
- HOSES, S. et al. **Ánalisis pre y post-ocupacional como herramienta de proyecto. Habitabilidad y energía en edificios escolares .** Actas XVIII Arquisur. La Plata, Buenos Aires. Octubre 2000
- IRAM. Instituto Argentino de racionalización de materiales. **Norma AADL J20-02. Iluminación natural en edificios. Condiciones generales y requisitos especiales.** Julio, 1966.

IRAM. Instituto Argentino de racionalización de materiales. **Norma AADL J20-03. Iluminación natural de edificios. Metodos de determinación.** Agosto, 1970

IRAM. Instituto Argentino de racionalización de materiales. **Norma AADL J20-04. Iluminación en escuelas. Características.** Julio, 1969.

MCEN. **Criterios y Normativa Básica de Arquitectura Escolar.** Ministerio de Cultura y Educación de la nación, Argentina, 1997.

SAN JUAN G, et al. **Desarrollo metodológico para la evaluación del comportamientos lumínico de la red tipología de edificios de educación de la Provincia de Buenos Aires.** Actas de la 19º Reunión de Trabajo de ASADES. Mar del Plata, Argentina. Noviembre 1996

SAN JUAN G., et al. **Generacion de indicadores teoricos optimizados. Sinergia de balance termo-luminico en aulas. Estado de avance.** Revista de la Asociacion Argentina de Energia Solar, N° 1. Rio Cuarto, Cordoba, Argentina. Noviembre 1997.

AGRADECIMIENTOS

Se agradece a los arquitectos Martin Evans y Silvia de Schiller, del CIHE – FADU - UBA, por la desinteresada colaboración que han demostrado cediéndonos sus instalaciones para la realización de este trabajo.

